



1.150 11AC160SISO_Ant2_5570





1.151 11A20CDD_Ant1_5180





1.152 11A20CDD_Ant2_5180





1.153 11A20CDD_Ant1_5200





1.154 11A20CDD_Ant2_5200





1.155 11A20CDD_Ant1_5240





1.156 11A20CDD_Ant2_5240





1.157 11A20CDD_Ant1_5260





1.158 11A20CDD_Ant2_5260





1.159 11A20CDD_Ant1_5280

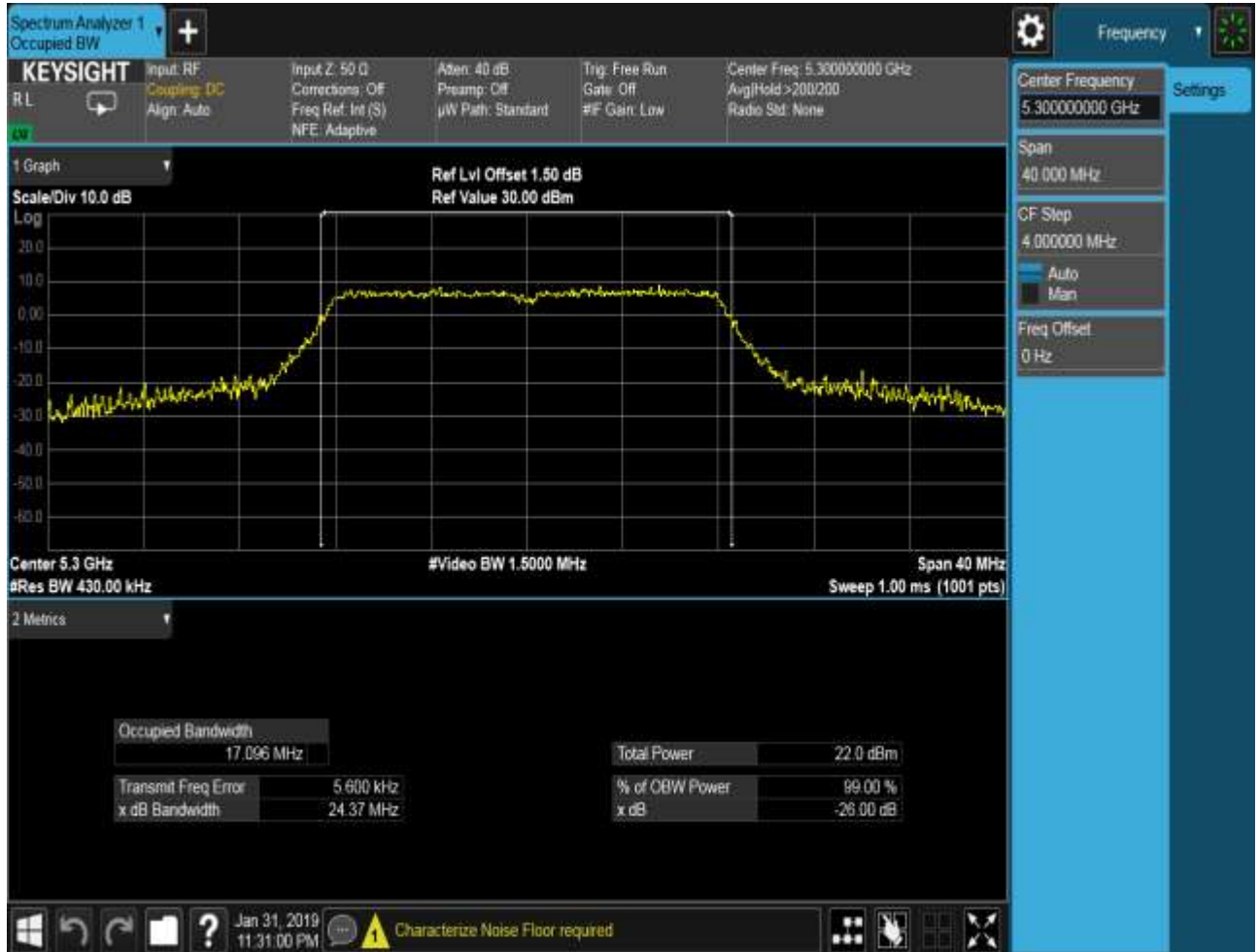




1.160 11A20CDD_Ant2_5280



1.161 11A20CDD_Ant1_5300



1.162 11A20CDD_Ant2_5300





1.163 11A20CDD_Ant1_5320





1.164 11A20CDD_Ant2_5320





1.165 11A20CDD_Ant1_5500





1.166 11A20CDD_Ant2_5500





1.167 11A20CDD_Ant1_5520





1.168 11A20CDD_Ant2_5520





1.169 11A20CDD_Ant1_5580





1.170 11A20CDD_Ant2_5580





1.171 11A20CDD_Ant1_5680





1.172 11A20CDD_Ant2_5680





1.173 11A20CDD_Ant1_5700





1.174 11A20CDD_Ant2_5700



1.175 11A20CDD_Ant1_5745



1.176 11A20CDD_Ant2_5745





1.177 11A20CDD_Ant1_5785





1.178 11A20CDD_Ant2_5785





1.179 11A20CDD_Ant1_5805





1.180 11A20CDD_Ant2_5805





1.181 11A20CDD_Ant1_5825





1.182 11A20CDD_Ant2_5825





1.183 11N20MIMO_Ant1_5180





1.184 11N20MIMO_Ant2_5180





1.185 11N20MIMO_Ant1_5200





1.186 11N20MIMO_Ant2_5200



1.187 11N20MIMO_Ant1_5240



1.188 11N20MIMO_Ant2_5240





1.189 11N20MIMO_Ant1_5260





1.190 11N20MIMO_Ant2_5260





1.191 11N20MIMO_Ant1_5280



1.192 11N20MIMO_Ant2_5280





1.193 11N20MIMO_Ant1_5300



1.194 11N20MIMO_Ant2_5300





1.195 11N20MIMO_Ant1_5320





1.196 11N20MIMO_Ant2_5320





1.197 11N20MIMO_Ant1_5500





1.198 11N20MIMO_Ant2_5500





1.199 11N20MIMO_Ant1_5520





1.200 11N20MIMO_Ant2_5520





1.201 11N20MIMO_Ant1_5580



1.202 11N20MIMO_Ant2_5580





1.203 11N20MIMO_Ant1_5680





1.204 11N20MIMO_Ant2_5680



1.205 11N20MIMO_Ant1_5700





1.206 11N20MIMO_Ant2_5700





1.207 11N20MIMO_Ant1_5745





1.208 11N20MIMO_Ant2_5745





1.209 11N20MIMO_Ant1_5785





1.210 11N20MIMO_Ant2_5785



1.211 11N20MIMO_Ant1_5805





1.212 11N20MIMO_Ant2_5805





1.213 11N20MIMO_Ant1_5825





1.214 11N20MIMO_Ant2_5825





1.215 11N40MIMO_Ant1_5190





1.216 11N40MIMO_Ant2_5190





1.217 11N40MIMO_Ant1_5230





1.218 11N40MIMO_Ant2_5230





1.219 11N40MIMO_Ant1_5270





1.220 11N40MIMO_Ant2_5270





1.221 11N40MIMO_Ant1_5310





1.222 11N40MIMO_Ant2_5310





1.223 11N40MIMO_Ant1_5510





1.224 11N40MIMO_Ant2_5510





1.225 11N40MIMO_Ant1_5550





1.226 11N40MIMO_Ant2_5550





1.227 11N40MIMO_Ant1_5630





1.228 11N40MIMO_Ant2_5630





1.229 11N40MIMO_Ant1_5670





1.230 11N40MIMO_Ant2_5670





1.231 11N40MIMO_Ant1_5755



1.232 11N40MIMO_Ant2_5755





1.233 11N40MIMO_Ant1_5795





1.234 11N40MIMO_Ant2_5795





1.235 11AC20MIMO_Ant1_5180





1.236 11AC20MIMO_Ant2_5180



1.237 11AC20MIMO_Ant1_5200





1.238 11AC20MIMO_Ant2_5200





1.239 11AC20MIMO_Ant1_5240





1.240 11AC20MIMO_Ant2_5240





1.241 11AC20MIMO_Ant1_5260





1.242 11AC20MIMO_Ant2_5260





1.243 11AC20MIMO_Ant1_5280





1.244 11AC20MIMO_Ant2_5280





1.245 11AC20MIMO_Ant1_5300





1.246 11AC20MIMO_Ant2_5300





1.247 11AC20MIMO_Ant1_5320





1.248 11AC20MIMO_Ant2_5320





1.249 11AC20MIMO_Ant1_5500





1.250 11AC20MIMO_Ant2_5500





1.251 11AC20MIMO_Ant1_5520





1.252 11AC20MIMO_Ant2_5520





1.253 11AC20MIMO_Ant1_5580





1.254 11AC20MIMO_Ant2_5580





1.255 11AC20MIMO_Ant1_5680





1.256 11AC20MIMO_Ant2_5680





1.257 11AC20MIMO_Ant1_5700





1.258 11AC20MIMO_Ant2_5700





1.259 11AC20MIMO_Ant1_5745





1.260 11AC20MIMO_Ant2_5745





1.261 11AC20MIMO_Ant1_5785





1.262 11AC20MIMO_Ant2_5785





1.263 11AC20MIMO_Ant1_5805





1.264 11AC20MIMO_Ant2_5805





1.265 11AC20MIMO_Ant1_5825





1.266 11AC20MIMO_Ant2_5825





1.267 11AC40MIMO_Ant1_5190





1.268 11AC40MIMO_Ant2_5190





1.269 11AC40MIMO_Ant1_5230





1.270 11AC40MIMO_Ant2_5230





1.271 11AC40MIMO_Ant1_5270





1.272 11AC40MIMO_Ant2_5270





1.273 11AC40MIMO_Ant1_5310





1.274 11AC40MIMO_Ant2_5310





1.275 11AC40MIMO_Ant1_5510





1.276 11AC40MIMO_Ant2_5510





1.277 11AC40MIMO_Ant1_5550





1.278 11AC40MIMO_Ant2_5550





1.279 11AC40MIMO_Ant1_5630





1.280 11AC40MIMO_Ant2_5630





1.281 11AC40MIMO_Ant1_5670





1.282 11AC40MIMO_Ant2_5670





1.283 11AC40MIMO_Ant1_5755





1.284 11AC40MIMO_Ant2_5755





1.285 11AC40MIMO_Ant1_5795





1.286 11AC40MIMO_Ant2_5795





1.287 11AC80MIMO_Ant1_5210





1.288 11AC80MIMO_Ant2_5210





1.289 11AC80MIMO_Ant1_5290





1.290 11AC80MIMO_Ant2_5290





1.291 11AC80MIMO_Ant1_5530



1.292 11AC80MIMO_Ant2_5530





1.293 11AC80MIMO_Ant1_5610





1.294 11AC80MIMO_Ant2_5610





1.295 11AC80MIMO_Ant1_5775





1.296 11AC80MIMO_Ant2_5775





1.297 11AC160MIMO_Ant1_5250





1.298 11AC160MIMO_Ant2_5250

